

# مقایسه تعداد و محل انتشار سلولهای $S^{+}_{100}$ ، $CD^{+}_4$ ، $CD^{+}_8$ در لیکن پلان دهانی و ضایعات لیکنوییدی خاط دهان با روش رنگ آمیزی ایمونو هیستوشیمیایی

غلامرضا جهانشاھی<sup>\*</sup>، اشکان نگیق‌ساجی<sup>۱</sup>

## چکیده

**مقدمه:** افتراق بین لیکنپلان دهانی و ضایعات لیکنوئید خاط دهان ناشی از داروها، هم از لحاظ بالینی و هم از لحاظ هیستولوژیک بسیار مشکل است. هدف از مطالعه حاضر، بررسی توانایی های کاربردی روش ایمنو هیستوشیمیایی در افتراق بین این ضایعات بود.

**مواد و روش‌ها:** در این مطالعه توصیفی- تحلیلی، 30 نمونه لیکنپلان دهانی و 60 نمونه ضایعات لیکنوئید خاط دهان، به منظور بررسی تعداد و محل انتشار سلولهای لانگرهانس  $S^{+}_{100}$  و لنفوسيت‌های  $CD^{+}_4$ ،  $CD^{+}_8$  رنگ‌آمیزی ایمنو هیستوشیمیایی شدنده برای رنگ‌آمیزی از روش استاندارد بیوتین- استرپتاویدین و Antigen retrieval استفاده شد. اطلاعات به دست آمده در نرم افزار SPSS توسط آزمون من ویت نی (Mann-Whitney) مورد تجزیه و تحلیل قرار گرفت.

**نتایج:** سلولهای  $CD^{+}_4$  و  $CD^{+}_8$  در هر دو گروه در نواحی پاپیلر کوریوم و رتیکولر کوریوم بدون اختلاف واضحی از نظر تعداد و محل انتشار توزیع یافته بودند. از نظر توزیع سلولهای  $S^{+}_{100}$  نیز تفاوتی ملاحظه نشد ولی تعداد سلولهای  $S^{+}_{100}$  در ناحیه اپی‌تلیوم لیکنپلان دهانی با ضایعات لیکنوئید خاط دهان تفاوت داشتند.

**نتیجه‌گیری:** تعداد سلولهای  $S^{+}_{100}$  در لیکنپلان دهانی با ضایعات لیکنوئیدی متفاوت بود به نظر می‌رسد این دو گروه، علیرغم شباهت زیادی که دارند، احتمالاً دارای پاتوژنز متفاوتی باشند. مطالعه در مورد سلولهای پیشگفت همراه با پیگیری بیماران توصیه می‌شود.

**کلیدواژه‌ها:** لیکنپلان دهانی، ضایعات لیکنوئید دهانی، ایمنو هیستوشیمیایی،  $CD^{+}_8$ ،  $CD^{+}_4$ ،  $S^{+}_{100}$

## مقدمه

لیکنپلان، اختلال شایع جلدی خاطی است که در یک درصد جمعیت مشاهده می‌شود و حدود ۹ درصد از ضایعات خاط دهان را تشکیل می‌دهد. هرچند اتیولوژی آن ناشناخته

است [۱]، اما سلولهای لانگرهانس ( $S^{+}_{100}$ ) و لنفوسيت‌های  $CD^{+}_4$  و  $CD^{+}_8$  نقش مهمی را در پاتوژنز آن ایفا می‌کند [۲]. این در حالیست که افتراق آن از ضایعات لیکنوئید خاط دهان ناشی از

\* دکتر غلامرضا جهانشاھی  
(دانشیار)، گروه آسیب‌شناسی دهان،  
دانشکده دندان‌پزشکی،  
دانشگاه علوم پزشکی  
اصفهان، خیابان هزارجریب، اصفهان.  
jahanshahi@dnt.mui.ac.ir

۱: دندان‌پزشک.

این طرح با شماره 83189 در دفتر هماهنگی طرح‌های پژوهشی معاونت پژوهشی دانشگاه علوم پزشکی اصفهان ثبت شده و هزینه‌های آن از طرف این معاونت پرداخت گردیده است.

این مقاله در تاریخ 25/11/84 به دفتر مجله رسیده، در تاریخ 22/2/85 اصلاح شده و در تاریخ 10/3/85 تأیید گردیده است.

جله دانشکده دندان‌پزشکی  
اصفهان 28: 2 (1): 21 تا 28

مقایسه تعداد و محل انتشار سلول های  $CD^{+}_8$ ،  $CD^{+}_4$ ،  $S^{+}_{100}$  و

فعال شده  $CD^{+}_8$  میباشد، این سلول های اتوسیتوکوسیک منجر به آپوپتوز سلول های اپی تلی الی خاط دهان می گردند [3]. برای توضیح این فرایند، پیشنهاد شده است که یک پاسخ اینی به آنتی ژن های داخلی و خارجی که در محل کراتینوسیت های لایه بازآل قرار دارند، منجر به فعال شدن  $(S^{+}_{100})$  سلول های لانگرهاں های میگردد، آنگاه سلول لانگرهاں، این آنتی ژن ها را به لنفوسیت های  $CD^{+}_4$  که در اثر ادھیژن مولکول ها به محل لامیناپروپریا آمده اند، ارائه میدهد. سپس سلول های  $CD^{+}_4$ ، به کمک سیتوکین هایی که در پاسخ به آسیب سلولی تولید می کنند، به همراه ادھیژن مولکول ها، باعث تحریک شدن لنفوسیت های  $CD^{+}_8$  میگردد و در نهایت، به دنبال این فرایندها، سلول سیتوکوسیک  $CD^{+}_8$  باعث تخریب سلول های اپی تلی الی می شوند [4]. نمای میکروسکوپی لیکن پلان یک نمای اختصاصی نیست، زیرا مواردی مانند واکنش های لیکنوئید ناشی از دارو و یا ناشی از آمالگام، لوپوس اریتماتوز و استوماتیت Chronic Ulcerative (Ostemititis مشابه نمای لیکن پلان دهانی داشته باشد [5]. بنابراین، در سال 2003، ویژگی های کلی نمای

داروها، هم از لحاظ بالینی هم از لحاظ هیستولوژیک بسیار دشوار است [4 و 3] بطوری که برای تشخیص افتراقی آنها، استفاده از روش ایمونوفلورسانس پیشنهاد شده است [5]. اما کاربری از این روش، پرهزینه، وقت گیر و در شرایط فعلی، به سهولت قابل انجام نیست [6]. برای جلوگیری از درمان نامناسب و صرف هزینه غیر ضروری، مطالعه حاضر در نظر دارد توانایی های کاربردی روش ایمونوهیستوشیمیایی را، که هم یک روش ساده تر و کم هزینه تر و هم قابل انجام در شرایط فعلی است، در جهت تفکیک ضایعات لیکنوئید خاط دهان از لیکن پلان دهانی مورد بررسی قرار دهد و در این رابطه، فراوانی و محل انتشار سلول های  $CD^{+}_8$ ،  $CD^{+}_4$ ،  $S^{+}_{100}$  به عنوان مبنایی برای مقایسه این دو در نظر گرفته شده است [2].

در پژوهش های اخیر، نشان داده شده که لیکن پلان دهانی، یک بیماری اتوایمیون وابسته به اینی سلولی است که در آن، انتشار لنفوسیت ها در حالت تقریب آ منحصری از T لنفوسیت ها تشکیل شده است. از آنجایی که اکثر T لنفوسیت هایی که در اپی تلیوم و یا آنها ی که در مجاورت کراتینوسیت های آسیب دیده لایه بازآل قرار دارند، سلول

مقایسه تعداد و عل انتشار سلول های  $CD^{+}_8$ ،  $CD^{+}_4$  و  $S^{+}_{100}$

مواردی چون ارتباط ضایعه با مصرف دارو، چاشنی های غذایی، تماس خاط با فلزات و وجود بیماری های سیستمیک نیز توجه نمود [8].

لیکن پلان یک بیماری اتوایمیون با پاتوژن اینی سلولی است بطوری که حضور T لنفوسيت ها و منوسيت ها و سلول های لانگرهانس را درون و میان غشای پایه و داخل اپی تلیوم و همین طور لنفوسيت ها و منوسيت های اطراف عروقی را دلیلی بر واکنش اینی سلولی در لیکن پلان می دانند که فعالیت این سلول ها به کمک مارکرهای آنتی ژنتیک اپی تلیوم منجر به آسیب سیتو توکسیک در آنها می شود [9].

برای بررسی فعالیت سلول های لانگرهانس در لیکن پلان، افزایش قابل توجه رسپتورهای MHC II در این سلول ها نشان داده اند که این مطلب مبین نقش ایونولوژیک بسیار مهم سلول های لانگرهانس در پیشرفت ضایعه است [10]. پژوهش هیروتا (Hirota) در مورد حضور رسلول های اینی در لیکن پلان دهانی روی 24 نمونه نشان داد که اکثر لنفوسيت های استرومای سطحی (پاپیلر کوریوم) سلول های  $CD^{+}_4$  می باشند و تعداد کمتری از این سلول ها را سلول های  $CD^{+}_8$  تشکیل می دهند در حالی که این توزیع در ناحیه اپی تلیوم بر عکس بود، یعنی، اکثریت سلول های  $CD^{+}_8$

هیستولوژیک لیکن پلان پس از اصلاح توسط WHO به این شرح اعلام شد: وجود ارتراح نوار مانند سلول ها در بخش سطحی بافت همبند (پاپیلر کوریوم) که عمدتاً از لنفوسيت ها تشکیل شده است، علائمی از وجود دژنرسانس مایی در طبقه بازال اپیتلیوم و عدم وجود دیسپلازی اپیتلیالی [6].

از طرفی، نمای بالینی واکنش لیکنوئیدی ممکن است از تمام اشکال بالینی لیکن پلان تقليد کند، از موارد ملایم فقط همراه با ضایعات کرا توئیک، تا ضایعات دردناک با اجزای قرمز و سفید کراتوتیک حتی تا مواردی از التهاب خاطی منتشر که قادر اجزای کراتوتیک است، که در چنین مواردی شبیه ارتیم مولتی فرم خواهد بود [7].

همان طور که ذکر شد، نمای میکروسکوپی ضایعات لیکنوئیدی مشابه لیکن پلان است، هرچند ممکن است به جای ارتراح نوار مانند لنفوسيت ها، ارتراح سطحی یا عمقی لنفوسيت ها در اطراف عروق و سلول های آماسی که حاوی ائوزینوفیل، پلاسموسیت و نوتروفیل را نشان دهد و از آن جایی که در نمای بالینی شواهد کمی برای تشخیص افتراقی ضایعات لیکنوئید از لیکن پلان وجود دارد، بنابراین، برای تمايز این ضایعات از لیکن پلان، باید به

مقایسه تعداد و محل انتشار سلول های  $CD^{+}_8$ ،  $CD^{+}_4$ ،  $S^{+}_{100}$  و

قابل بحث هم می باشد، می توان به صورت زیر خلاصه نمود:  
از نظر تعداد و محل انتشار سلول های  $S^{+}_{100}$ ،  $CD^{+}_4$ ،  $CD^{+}_8$  در مقایسه دو حالت لیکن پلان دهانی (OLP) و ضایعات لیکنوئید خاط دهان (OLL) چنین بیان شده است که اگرچه حضور  $S^{+}_{100}$  های فعال و افزایش یافته در اپی تلیوم برای لیکن پلان دارای ارزش تشخیصی است، ولی از نظر تعداد و محل انتشار سلول های  $S^{+}_{100}$  در اپی تلیوم، بین دو گروه، تفاوت چندانی گزارش نشده است. همچنین در مورد تعداد سلول های  $CD^{+}_4$  و محل انتشار آن، که بخش پاپیلرکوریوم و رتیکولرکوریوم می باشد، در دو گروه، تفاوت قابل ملاحظه ای بیان نشده است. آنچه در مطالعات گذشته بین دو گروه، متفاوت اعلام شده، تعداد  $CD^{+}_8$  و محل انتشار سلول های  $CD^{+}_8$  می باشد، بدین معنی که تعداد سلول های  $CD^{+}_8$  در لیکن پلان بیشتر از تعداد سلول های  $CD^{+}_8$  در ضایعات لیکنوئید بوده و همینطور، محل انتشار این سلول ها در لیکن پلان دهانی بیشتر اپی تلیوم و کمی هم در ناحیه پاپیلرکوریوم بوده است در حالی که در ضایعات لیکنوئید، این محل بیشتر پاپیلرکوریوم و بسیار اندک در اپی تلیوم مشاهده شده اند.

مشاهده شدند و تعدادی از سلول های لانگرهانس و ماکروفاز نیز در لایه های پایینی اپی تلیوم، بخصوص جا هایی که دژنراسیون رخداده بود، مشاهده شدند و نهایتاً، نتیجه گرفته شد که سلول های لانگرهانس و ماکروفازها نقش مهمی را در ارائه آنتی ژن ایفا می کنند و یک این سلولی وابسته به سلول های T سیتو توکسیک (CD $^{+}_8$ ) و T کمککننده (CD $^{+}_4$ ) را به عنوان پاتوژن لیکن پلان پیشنهاد کردند [11]. مطالعه ای، یافته های هیستولوژیک و ایونو هیستوشیمیایی در لیکن پلان دهانی شامل ترشح لنفوسيت ها در بافت همبند زیر خاط با تجمع در ناحیه غشای پایه و بروز MHC II در سلول های CD $^{+}_8$  مربوط به ضایعات لیکنوئید را به واکنش حساسیت تأخیری نوع چهارم نسبت داده اند [12] بطوری که سلول های هدف برای لنفوسيت ها در ضایعات لیکن پلان در پژوهشی کراتینوسیت های لایه بازال معرفی شده اند [13]. در خصوص خود انتشار سلول های  $S^{+}_{100}$ ،  $CD^{+}_4$  و  $CD^{+}_8$  در لیکن پلان و ضایعات لیکنوئیدی [2]. با استفاده از همین مارکرها بررسی هایی را در خصوص پاتوژن لیکن پلان به عمل آورده اند [14 و 15]. که جعبه بندی جموعه کارهای صورت گرفته را، که گاهی دارای نکات

مقایسه تعداد و محل انتشار سلول های  $CD^{+}_8$ ،  $CD^{+}_4$ ،  $S^{+}_{100}$  و

ارتباھ این سلول ها در بخش پاپیلرکوریوم و یا دور عروق و همچنین مشاهده دژنرسانس طبقه بازال، به دو گروه لیکن پلان و لیکنویید تقسیم شدند . لازم به ذکر است که بر اساس تعریف WHO در صورت مشاهده دیسپلازی سلولی، نمونه از مطالعه خارج می شد. در نهایت، مواردی که هم از نظر بالینی و هم میکروسکوپی وارد شرایط بودند، در گروه لیکن پلان دهانی و بقیه که حتی یکی از شرایط را نداشتند، در گروه لیکنویید قرار داده شدند . به این ترتیب، 30 نمونه برای لیکنپلان و 60 نمونه نیز برای لیکنویید براساس مطالعات قبلی  $\delta_1=5/37$  و  $\delta_2=3/24$  به شرح زیر تعیین گردیدند :

$$n_1 = \frac{(z_{1-\frac{\alpha}{2}} + z_{1-\beta})^2 (\sigma_1^2 + \frac{\sigma_2^2}{k})}{d^2}$$

$$z_{1-\frac{\alpha}{2}} = 1.96 \quad n_2 = kn_1$$

$$\alpha = 0.05 \quad k = 2 \quad n_1 = 30$$

$$z_{1-\beta} = 0.84 \quad d = 3 \quad n_2 = 60$$

$$1 - \beta = 0.80$$

$$\sigma_1 = 5.37$$

$$\sigma_2 = 3.24$$

به منظور بررسی تعداد و محل انتشار سلول های  $S^{+}_{100}$ ،  $CD^{+}_4$  و  $CD^{+}_8$ ، رنگ آمیزی ایمونوھیستوشیمیایی با استفاده از روش استاندارد بیوتون-

از آن جایی که نتایج مطالعات قبلی همگی مشابه و همسو نبودند، بنابراین، مطالعه حاضر با هدف مقایسه تعداد و محل انتشار سلول های  $CD^{+}_4$ ،  $S^{+}_{100}$  و  $CD^{+}_8$  در لیکن پلان دهانی و ضایعات لیکنوئیدی خاط دهان با روش رنگ آمیزی ایمونوھیستوشیمیایی انجام شد.

## مواد و روش‌ها

در این مطالعه توصیفی- تحلیلی، نمونه‌های مورد مطالعه شامل بلوک‌های پارافینی فیکس شده از ضایعات لیکن پلان و ضایعات لیکنوئید مخاط دهان موجود در بایگانی بخش پاتولوژی دانشکده دندانپزشکی دانشگاه علوم پزشکی اصفهان در حد فاصل سال‌های 1384-1366 بود.

ابتدا، براساس پرونده بیمار و در صورت برقرار بودن شرایط تعریف شده، یعنی، وجود نمای رتیکولر و دو طرفه بودن ضایعات، نمونه‌ها به دو گروه لیکن پلان دهانی و ضایعه لیکنوئیدی خاط دهان بر حسب نمای بالینی تقسیم شدند [6]. این نمونه‌ها بعدها به صورت یکسو کور توسط پاتولوژیست مورد مطالعه قرار گرفتند و باز براساس شرایط تعریف شد توسط WHO و بر حسب وجود ارتباھ نوار مانند لنفوسيتها و چگونگی آرایش

مقایسه تعداد و محل انتشار سلول های  $CD^{+}_8$ ،  $CD^{+}_4$ ،  $S^{+}_{100}$  و

با در نظر گرفتن این مطلب که سلول های  $CD^{+}_8$  و  $CD^{+}_4$  در هر سه بخش بافتی و سلول لانگرهانس در اپیتليوم و ناحیه پاپیلرکوریوم پراکنده‌گی دارند، توزیع فراوانی محل انتشار این سلول ها با یکدیگر در دو گروه مقایسه و بررسی گشت.  
داده‌های پژوهش پس از جمع آوری، به منظور مقایسه میانگین تعداد و توزیع فراوانی محل انتشار سلول های  $S^{+}_{100}$ ،  $CD^{+}_4$  و  $CD^{+}_8$  در دو گروه توسط نرم افزار SPSS-13 و آزمون من ویتنی (Mann-Whitney) با سطح معنی دار 0/05 مورد تجزیه و تحلیل قرار گرفت.

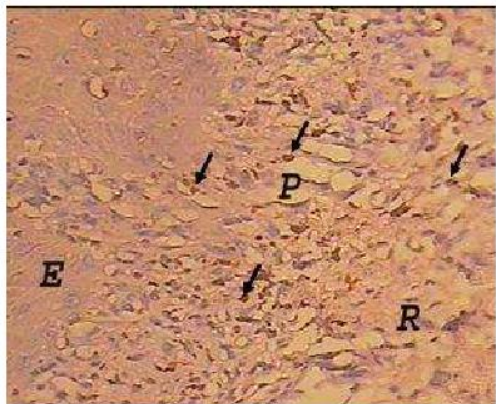
## نتایج

(OLP) در لیکن پلان دهانی سلول های  $CD^{+}_4$  بیشتر در ناحیه پاپیلرکوریوم و به طور متوسط در رتیکولرکوریوم و ختصری در اپیتليوم توزیع شده بودند (شکل 1). همین طور سلول های  $CD^{+}_8$  بیشتر در محل پاپیلرکوریوم توزیع یافته بودند و در نواحی رتیکولرکوریوم و اپیتليوم در حد متوسط مشاهده شدند در حالی که تعداد این سلول ها بیشتر از سلول های  $CD^{+}_4$  بوده (شکل 2). ولی اکثر سلول های منوکلونالی که مشاهده شدند، سلول های  $S^{+}_{100}$  بودند که به صورت غالبی در محل

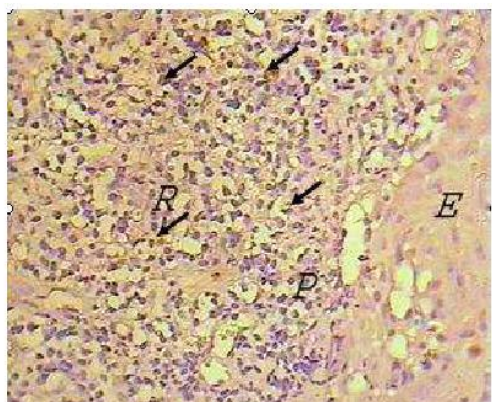
استرپتا ویدین پس از انجام Antigen Retrieval صورت پذیرفت.  
نمونه ها برای بررسی میانگین تعداد سلول های  $S^{+}_{100}$ ،  $CD^{+}_4$  و  $CD^{+}_8$  در یک ناحیه با بیشترین رنگپذیری، از لام مربوطه توسط میکروسکوپ نوری و با بزرگنمایی 400 $\times$  توسط پاتولوژیست بررسی شد. بدین ترتیب که با درشت نمایی 100 $\times$  یک ناحیه با بیشترین رنگپذیری انتخاب گشت و در زمینه مربوطه با درشت نمایی 400 $\times$  تعداد 100 سلول شمارش شد. پس از آن، نسبت سلول های رنگ گرفته به این 100 سلول محاسبه گردید که نتایج به صورت درصد و با الگوی زیر گزارش شده اند:

اگر درصد فراوانی سلول های مثبت صفر بود، میانگین به صورت (-) یا هیچ (none)؛ اگر درصد سلول های مثبت بین 1 تا 10 بود، میانگین به صورت ( $\pm$ ) یا ختصر (slight)؛ اگر درصد سلول های مثبت بین 11 تا 50 بود، میانگین به صورت (+) یا متوسط (moderate)؛ و اگر درصد سلول های مثبت بالاتر از 50 بود، میانگین به صورت (++) یا شدید (intense) بیان شدند. برای بررسی توزیع فراوانی محل انتشار این سلول ها در نواحی مختلف بافتی، هر ضایعه به سه بخش اپیتليوم، ناحیه پاپیلرکوریوم و ناحیه رتیکولرکوریوم تقسیم شد. سپس

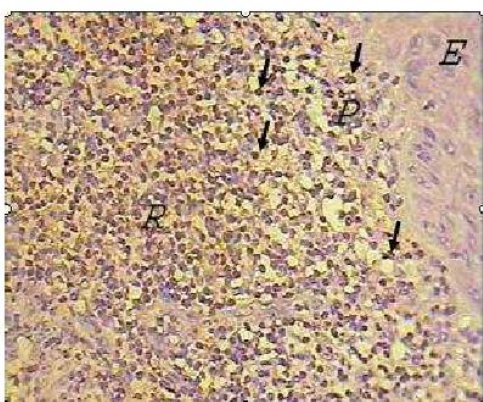
مقایسه تعداد و محل انتشار سلول های  $CD^{+}_8$ ،  $CD^{+}_4$ ،  $S^{+}_{100}$



شکل 1: انتشار سلول های  $CD^{+}_4$  در OLP، رنگآمیزی هماتو- کسیلین آنتی  $CD^{+}_4$ ، در شتغایی  $400 \times$ .



شکل 2: انتشار سلول های  $CD^{+}_8$  در OLP، رنگآمیزی هماتو- کسیلین آنتی  $CD^{+}_8$ ، در شتغایی  $400 \times$ .



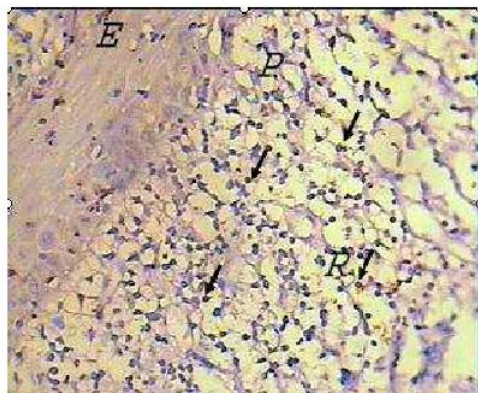
پاپیلرکوریوم وجود داشتند (شکل 3).

در ضایعات لیکنوئید دهانی، سلول های  $CD^{+}_4$  بیشتر در محل پاپیلرکوریوم و در حد متوسط در نواحی رتیکولرکوریوم و اپیتلیوم مشاهده شدند (شکل 4).

این در حالی است که توزیع سلول های  $CD^{+}_8$  نیز بیشتر در ناحیه پاپیلرکوریوم بود. همچنین در نواحی رتیکولرکوریوم و اپیتلیوم، توزیع این سلول ها در حد متوسط مشاهده شد با این تفاوت که تعداد سلول های  $CD^{+}_8$  بیشتر از سلول های  $CD^{+}_4$  بود (شکل 5). اما آنچه بیشتر از همه قابل توجه می باشد توزیع غالب سلول های  $S^{+}_{100}$  در ناحیه پاپیلرکوریوم بود (شکل 6).

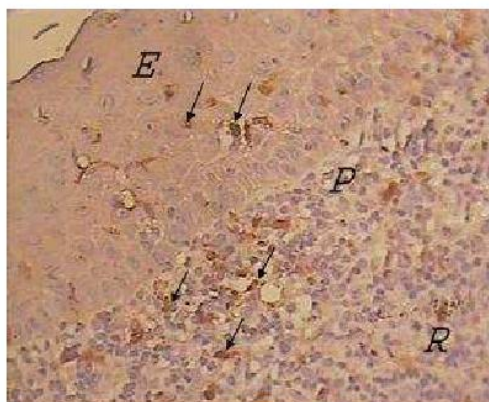
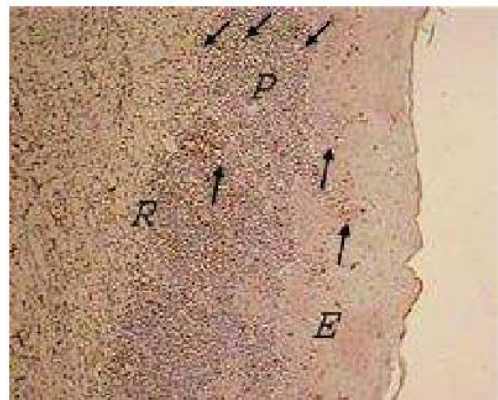
در مقایسه تعداد و محل انتشار سلول های  $S^{+}_{100}$ ،  $CD^{+}_4$  و  $CD^{+}_8$  در دو گروه لیکن پلان دهانی و ضایعات لیکنوئید خاط دهان، تعداد سلول های  $S^{+}_{100}$  در دو گروه به صورت قابل ذکری متفاوت بود. بدین معنی که نسبت سلول های  $S^{+}_{100}$  در ناحیه اپیتلیوم گروه لیکن پلان دهانی بیشتر از گروه ضایعات لیکنوئید خاط دهان مشاهده شد ( $P=0/06$ ) هرچند در ناحیه پاپیلرکوریوم تفاوت معنی داری نداشتند.

مقایسه تعداد و عل انتشار سلول های  $CD^{+}_8$ ،  $CD^{+}_4$ ،  $S^{+}_{100}$  و



شکل ۵: انتشار سلول های  $CD^{+}_8$  در OLL، رنگآمیزی هماتو- کسیلین آنتی  $CD^{+}_8$ ، درشتگایی  $\times 400$ .

شکل ۳: انتشار سلول های  $S^{+}_{100}$  در OLP، رنگآمیزی هماتو- کسیلین آنتی  $S^{+}_{100}$  درشتگایی  $\times 400$ .



شکل ۶: انتشار سلول های  $S^{+}_{100}$  در OLL، رنگآمیزی هماتوکسیلین آنتی  $S^{+}_{100}$  درشتگایی  $\times 400$ .

شکل ۴: انتشار سلول های  $CD^{+}_4$  در OLL، رنگآمیزی هماتو- کسیلین آنتی  $CD^{+}_4$  درشتگایی  $\times 400$ .

E: اپیتالیوم، P: پاپیلرکوریوم، R: رتیکولرکوریوم و پیکانها نشانگر سلول های رنگگرفته میباشد.

جدول ۱: فراوانی یافته های ایونوھیستوشیمیایی در دو گروه

لیکنپلان دهانی (n=30)									ضایعات لیکنوئید مخاط دهان (n=60)			
-	±	+	++	-	±	+	++	سلول های $S^{+}_{100}$				
0	% 26/7	% 61/7	% 1/7	0	% 26/7	% 70	% 3/3	پاپیلرکوریوم				
% 76/7	% 21/7	% 1/7	0	% 90	% 10	0	0	CD <sup>+</sup> <sub>4</sub> لنفوسيتهاي				
% 51/7	% 45	% 2/3	0	% 63/3	% 33/3	% 3/3	0	اپیتالیوم				
								پاپیلرکوریوم				

**مقایسه تعداد و محل انتشار سلول های  $CD^{+}_8$ ،  $CD^{+}_4$  و  $S^{+}_{100}$**

% 78/3	% 16/7	% 5	0	% 83/3	% 13/3	% 3/3	0	
								رتیکولرکوریوم
								<b>لنفوسيت‌هاي <math>CD^{+}_8</math></b>
% 73/3	% 20	% 6/7	0	% 80	% 16/7	% 3/3	0	اپیتلیوم
% 28/3	% 41/7	% 11/7	% 8/3	% 40	% 40	% 16/7	% 3/3	پاپیلرکوریوم
% 61/7	% 20	% 11/7	% 6/7	% 66/7	% 23/3	% 6/7	% 3/3	
								رتیکولرکوریوم
								% 0 = <<->> ، % 1-10 = <<±>> ، % 11-50 = <<+->>

**بحث**

هدف ما از این مطالعه، مقایسه ویژگی‌های ایمونوھیستوشیمیایی لیکنپلان دهانی (OLP) و ضایعات لیکنوئید خاطر دهان (OLL) بود. در این دو گروه، تفاوت قابل ملاحظه‌ای در تعداد سلول های  $S^{+}_{100}$  مشاهده شد که بسیار نزدیک به یک تفاوت معنی دار بود. بدین معنی که سلول های  $S^{+}_{100}$  در ناحیه اپیتلیوم OLP در مقایسه با OLL تعداد نسبتاً بالایی داشتند. حال آن که در مطالعات قبلی، چنین تفاوتی از نظر تعداد و محل انتشار سلول های  $S^{+}_{100}$  گزارش نشده بود [10 و 11]. این یافته در مطالعه حاضر با نقش کلیدی سلول‌های لانگرهانس و مونوسیت‌ها در اپیتلیوم و نواحی تحت اپیتلیالی برای ارائه آنتیژن و پیشرفت بیماری همسو می‌باشد که خود تقویت‌کننده این نظریه است که این دو گروه از ضایعات، علی‌رغم شباهت‌های زیادی که

ضایعات لیکنوئید دهانی توزیع نسبتاً بیشتر سلول های  $CD^{+}_8$  را در دو ناحیه پاپیلرکوریوم و رتیکولرکوریوم نسبت به گروه لیکنپلان دهانی نشان دادند که این اختلاف معنی دار نبود. به علاوه، در محل اپیتلیوم نیز تفاوت قابل ذکری وجود نداشت. همچنین اختلاف معنی داری بین توزیع سلول های  $CD^{+}_4$  که بیشتر در ناحیه پاپیلرکوریوم و در حد متوسط در ناحیه رتیکولرکوریوم بود، در دو گروه مشاهده نشد. اپیتلیوم هم تفاوتی دیده نشد. از نظر میانگین تعداد سلول های  $CD^{+}_4$  و  $CD^{+}_8$  نیز در دو گروه تفاوت معنی داری به دست نیامد (جدول 1).

نتیجه نهایی اینکه تنها موردی که یک اختلاف بسیار نزدیک به معنی دار بین دو گروه مشاهده شد، بیشتر بودن تعداد سلول های  $S^{+}_{100}$  در اپیتلیوم لیکنپلان دهانی در مقایسه با ضایعات لیکنوئید دهان بود.

$CD^{+8}$ ,  $CD^{+4}$ ,  $S^{+100}$  مقایسه تعداد و محل انتشار سلول های  $CD^{+4}$  و  $CD^{+8}$

لانگرھانس، درون و میان غشای پایه و داخل اپیتلیوم را دلیلی

سلول های  $CD^{+8}$  گزارش کرده است [14]. در مطالعه حاضر، نسبت بالای فراوانی سلول های  $CD^{+8}$  در ناحیه پاپیلرکوریوم و رتیکولرکوریوم  $OLL$  در مقایسه با  $OLP$  ممکن است با واکنش حساسیت تأخیری نوع چهارم در ضایعات لیکنوئید شرح داده شود [12]. به علاوه، حضور سلول های  $CD^{+8}$  در لایه های اپیتلیالی، تحت اپیتلیالی (پاپیلرکوریوم) و در محل کراتینوسیت های آسیب دیده لایه بازآل و سلول های  $CD^{+4}$  در محل لامینا پروپریا بر یک واکنش

$T$  ایمنی وابسته به سلول های  $CD^{+8}$  (CD $^{+8}$ ) و  $T$  سیتوتوکسیک (CD $^{+4}$ ) نیز دلالت کمککننده (CD $^{+4}$ ) دارد [3, 2, 9, 17]. همچنین، در این مطالعه، الگوی توزیع مشابهی برای سلول های  $CD^{+4}$  در هر دو گروه مشاهده شد، بدین ترتیب که توزیع متوسطی از سلول های  $CD^{+4}$  در محل پاپیلرکوریوم و رتیکولرکوریوم در دو گروه مشاهده شد که فراوا نی این سلول ها در  $OLL$  کمی بیشتر از  $OLP$  بود، اگرچه این تفاوت معنی دار نبود. ارتشاج سلول های  $CD^{+4}$  از طریق مویرگ های ناحیه

دارند، احتمالاً دارای پاتوژنز متفاوتی هستند.

$T$  توتو (Toto) حضور لنفوسيت ها، منوسیت ها و سلول های بر واکنش ایمنی سلولی در لیکنپلان می داند [9]. به علاوه، پاتوژنز لیکن پلان را یک واکنش ایمونولوژیک دانسته اند که با فعال شدن سلول های لانگرھانس آغاز می شود، بدین ترتیب که این سلول ها، آنتیژن را به سلول های  $CD^{+4}$  که ب محظوظ لامینا پروپریا (پاپیلرکوریوم) آمدند اند، برای پیشرفت بیماری ارائه می کنند [2 و 4]. بنابراین، حضور سلول های لانگرھانس در محل اپیتلیوم را برای لیکن پلان یک عامل تشخیصی دانسته اند که همسو با یافته های مطالعه حاضر است [15 و 16].

در این مطالعه، الگوی توزیع سلول های  $CD^{+8}$  برای هر دو گروه تقریباً مشابه بود اگرچه برخلاف مطالعات گذشته، که بیشتر سلول های  $CD^{+8}$  را در ناحیه اپیتلیوم گزارش کرده اند [2, 3 و 17]، این سلول ها اکثراً در محل پاپیلرکوریوم و در حد متوسط در ناحیه رتیکولر کوریوم در دو گروه مشاهده شدند [17].

در مطالعه خان (Khan)، 60 تا 80 درصد سلول های منوکلونال تحت اپیتلیالی در لیکن پلان دهانی را

$CD^{+8}$ ،  $CD^{+4}$ ،  $S^{+100}$  مقایسه تعداد و محل انتشار سلول های

و بطور متوسط در رتیکولرکوریوم بود و تفاوتی هم از این بابت بین دو گروه مشاهده نشد . در واقع نتایج حاصل از این مطالعه را می توان به شرح زیر فهرست نمود :

### نتیجه گیری

- تعداد سلول های  $S^{+100}$  در ناحیه اپیتلیوم لیکن پلان دهانی (OLP) و ضایعات لیکنوئید دهانی (OLL) متفاوت بود ، بطوری که درصد OLP فراوانی این سلول ها در بیشتر از OLL مشاهده شد . البته با توجه به  $P=0/06$  بهتر است با تعداد نمونه بیشتر این موضوع همچنان تحت بررسی قرار داشته باشد .
- در مورد تعداد سلول های  $S^{+100}$  در ناحیه پاپیلرکوریوم در دو گروه تفاوتی مشاهده نشد .
- از نظر محل انتشار سلول های  $S^{+100}$  در دو ناحیه اپی تلیوم و پاپیلرکوریوم در دو گروه تفاوتی مشاهده نشد .
- در مورد توزیع سلول های  $CD^{+4}$  و  $CD^{+8}$  در سه ناحیه اپی تلیوم ، پاپیلرکوریوم و رتیکولرکوریوم در دو گروه ، چه از نظر تعداد و چه محل انتشار سلول ها تفاوت قابل ذکری مشاهده نشد . پیشنهاد می شود که علاوه بر ادامه این مطالعه ، بررسی دیگری با طراحی متفاوت به صورت

لامینا پروپریا (پاپیلرکوریوم) در اثر اعمال سلول لانگرهانس ، قابل توضیح می باشد [2، 4، 16، 17 و 19] .

$CD^{+8}$  و  $CD^{+4}$  می تواند به علت مدت زمان پیدایش ضایعه ، تغییرات موضعی و یا تجمع تدریجی سلول های  $CD^{+8}$  در طی پیشرفت بیماری و یا به علت آسیب کراتینوسیت های لایه بازال باشد [16 و 17] .

بنابراین ، می بینیم که این مطالعه در مقایسه با پژوهش های گذشته ، دارای شباهت هایی (توزیع غالب سلول های  $CD^{+4}$  در محل پاپیلرکوریوم و در حد متوسط در رتیکولرکوریوم در هر دو گروه ) و همچنین تفاوت هایی می باشد ، به این ترتیب که در بیشتر مطالعات انجام شده ، بین تعداد و محل انتشار سلول های  $S^{+100}$  در دو گروه تفاوتی مشاهده نشده است در حالی که در مطالعه حاضر ، این سلول ها در اپی تلیوم لیکن پلان دهانی (OLP) بیشتر از ضایعات لیکنوئید دهانی (OLL) انتشار یافته بودند . به علاوه ، توزیع سلول های  $CD^{+8}$  در مطالعات گذشته بیشتر در ناحیه اپی تلیوم لیکن پلان دهانی (OLP) در مقایسه با ضایعات لیکنوئید دهانی (OLL) گزارش شده است ، در حالی که در این مطالعه ، توزیع غالب این سلول ها در محل پاپیلرکوریوم

مقایسه تعداد و محل انتشار سلول های  $CD^{+}_8$ ،  $CD^{+}_4$ ،  $S^{+}_{100}$  و

آینده نگر با حجم نمونه بیشتر همراه با پیگیری بیماران با هدف بررسی سلول های  $CD^{+}_4$ ،  $S^{+}_{100}$ ،  $CD^{+}_8$  و  $S^{+}_{100}$  انجام شود. بهتر است در این مطالعه به مدت زمان پیدایش ضایعات نیز توجه نمود. به هر حال، در صورتی که در طی این مطالعه همچنان اختلاف بین تعداد سلول های  $S^{+}_{100}$  مشاهده شود، شاید بتوان از مارکرهای مربوط به سلول های لانگرهاں فعال (HLA-DR) و غیر فعال (CD1) نیز تواناً برای بررسی دقیق‌تر پاتوژن‌ز این دو گروه از ضایعات استفاده کرد.

**قدرت انسانی**

از معاونت پژوهشی دانشگاه علوم پزشکی اصفهان و معاون پژوهشی دانشکده دندان‌پزشکی، به خاطر پشتیبانی مالی و همچنین از خانم محمودی به خاطر مساعدة های تکنیکی ایشان، سپاسگزاری می‌شود.

## منابع

1. جهانشاھی غلامرضا. راهنمای تشخیص افتراقی بیماری های دهان. جلد اول. اصفهان: کنکاش. 1374: صفحات 25-20.
2. Mega H, Jiang WW, Takagi M. Immunohistochemical study of oral lichen planus associated with hepatitis C virus infection, oral lichenoid contact sensitivity reaction and idiopathic oral lichen planus. *Oral Dis* 2001; 7(5): 296-305.
3. Sugerman PB, Savage NW. Oral lichen planus: causes, diagnosis and management. *Aust Dent J* 2002; 47(4): 290-7.
4. Villarroel Dorrego M, Correnti M, Delgado R, Tapia FJ. Oral lichen planus: immunohistology of mucosal lesions. *J Oral Pathol Med* 2002; 31(7): 410-4.
5. Neville BW, Damm DD, Allen CM, Bouquot JE. *Oral and maxillofacial pathology*. 2<sup>nd</sup> ed. Philadelphia: WB Saunders Co. 2002: 680-4.
6. van der Meij EH, van der Waal I. Lack of clinicopathologic correlation in the diagnosis of oral lichen planus based on the presently available diagnostic criteria and suggestions for modifications. *J Oral Pathol Med* 2003; 32(9): 507-12.
7. Wood NK, Gooz PW. *Differential diagnosis of oral and maxillofacial lesions*. 5<sup>th</sup> ed. St Louis: Mosby CO. 1997: 75-77.
8. Lynch MA, Brightman VJ, Greenberg MS. *Burket's oral medicine: diagnosis and treatment*. 10<sup>th</sup> ed. Philadelphia: JB Lipincott Co. 2003.
9. Toto PD, Nadimi HT. An immunohistochemical study of oral lichen planus. *Oral Surg Oral Med Oral Pathol* 1987; 63: 60-7.
10. Farthing PM, Matear P, Cruchley AT. The activation langerhans cells in oral lichen planus. *J Oral Pathol Med* 1990; 19(2): 81-5.
11. Hirota J, Osaki T, Tateishi Y. Immunohistochemical staining of infiltrates in oral lichen planus. *Pathol Res Pract* 1990; 186(5): 625-32.
12. Eversol LR. Immunopathology of oral mucosal ulcerative, desquamative and bullous disease: selective review of the literature. *Oral Surg Oral Med Oral Pathol* 1994; 77(6): 555-71.
13. Bramati TE, Dekker NP, Lozada-Nur F, Sauk JJ, Regezi JA. Heat shock (stress) proteins and T lymphocytes in oral lichen planus. *Oral Surg Oral Med Oral Pathol Oral Radiol Endod* 1995; 80(6): 698-704.
14. Khan A, Farah CS, Savage NW, Walsh LJ, Harbrow DJ, Sugerman PB. Th1 cytokines in oral lichen planus. *J Oral Pathol Med* 2003; 32(2): 77-83.
15. Boisnic S, Frances C, Branchet MC, Szpriglas H, Le Charpentier Y. Immunohistochemical study of oral lesions of lichen planus: diagnostic and pathophysiologic aspect. *Oral Surg Oral Med Oral Pathol* 1990; 70(4): 462-5.
16. Regezi JA, Stewart JC, Lloyd RV, Headington JT. Immunohistochemical staining of langerhans cells and macrophages in oral lichen planus. *Oral Surg Oral Med Oral Pathol* 1985; 60(4): 396-402.
17. Santoro A, Majorana A, Roversi L, Gentili F, Morrelli S, Vermi W, et al. Recruitment of dendritic cells in oral lichen planus. *J Pathol* 2005; 205(4): 426-34.

## **Comparative Study of Number and Distribution of $S^{+}_{100}$ , $CD^{+}_4$ and $CD^{+}_8$ Cells in Oral Lichen Planus and Oral Lichenoid Lesions by Immunohistochemical Staining**

**Jahanshahi GR, Negintaji A**

### **Abstract**

**Introduction:** *Oral Lichen Planus (OLP)* is a common mucocutaneous disorder with unknown etiology. While current data suggest that oral lichen planus is a cell-mediated autoimmune disease, it might be associated to  $S^{+}_{100}$ ,  $CD^{+}_4$  and  $CD^{+}_8$  cells. Because of differential diagnosis of

*OLP and Oral Lichenoid Lesion (OLL) is usually difficult this study was designed to compare any probable immunohistochemical differences between these lesions.*

**Methods and materials:** Formalin-fixed, paraffin- embedded tissue sections of 30 oral lichen planus and 60 oral lichenoid lesions were Immunohistochemically analyzed for number and distribution of  $S^+ 100$ ,  $CD^+ 4$  and  $CD^+ 8$  cells. A standard Biotin-streptavidin procedure after Antigen retrieval was used. SPSS-13 software and Mann-whitney test were applied in data analysis.

**Results:** We could not find any significant differences in number and distribution of  $CD^+ 4$ ,  $CD^+ 8$  cells and distribution of  $S^+ 100$  cells between two groups but Numbers of  $S100+$  cells were higher in epithelium of OLP.

**Conclusion:** The number of  $S^+ 100$  cells in oral lichen planus was different from lichenoid lesions. In spite of similarities between these two groups, it seems they may have different pathogenesis. Further studies about mentioned cells with follow up of patients are recommended.

**Keywords:** Oral lichen planus, Oral lichenoid lesions, Immunohistochemistry (IHC),  $S^+ 100$ ,  $CD^+ 4$ ,  $CD^+ 8$ .

**Address:** Dr. Gholam Reza Jahanshahi (Associate professor), Department of Oral Pathology, School of Dentistry, Isfahan University of Medical Sciences. Isfahan, IRAN. E-mail: jahanshahi@dnt.mui.ac.ir

Journal of Isfahan Dental School 2006; 2(1): 21-28.